



مقایسه شاخص‌های پوشش گیاهی سنجش از دور در پایش خشکسالی

(مطالعه موردی مراعع نیمه شمال استان خوزستان)

حجت‌الله بیزدانپناه: دانش‌سیار اقلیم شناسی، دانشگاه اصفهان، اصفهان، ایران *
 مهدی موسومنی: استادیار مهندسی نقشه برداری، دانشگاه اصفهان، اصفهان، ایران
 حجت حسینقلی نژاد دزفولی: کارشناس ارشد اقلیم شناسی، دانشگاه اصفهان، اصفهان، ایران
 سعید محمدی: استادیار اقلیم شناسی، دانشگاه اصفهان، اصفهان، ایران
 میریم سلیمانی تبار: کارشناس ارشد جغرافیا و برنامه‌ریزی شهری، سازمان آموزش و پرورش استان اصفهان، اصفهان، ایران

وصول: ۱۳۹۰/۷/۳۰ پذیرش: ۱۳۹۱/۳/۲۰، صص ۸۵-۹۸

چکیده

نیمه شمالی استان خوزستان گوشه‌ای از مناطق خشک و نیمه خشک کشور ایران به شمار می‌آید که به دلیل این ویژگی دائمًا تحت تأثیر نوسانات کوچک و بزرگ نزولات جوی است. در این پژوهش از یک سری داده‌های ماهواره‌ای و یک سری داده‌ای بارش ماهیانه استفاده شده است، داده‌ای ماهواره‌ای متعلق به سنجنده MODIS و داده‌ای زمینی متعلق به ۱۳ ایستگاه سینوپتیکی و کلیماتولوژی منطقه مطالعاتی است. در کار صورت گرفته ابتدا شاخص تفاضل نرمال (NDVI) را برای داده‌ای ماهواره متعلق به ماه زئن را برآورد نموده‌ایم و سپس برای داده‌ای بارش زمینی نیز شاخص استاندارد بارش (SPI) را در دوره‌های ۱۲، ۶، ۹ و ۲ امحاسبه شده است و در مقایسه‌ای که میان این دو شاخص صورت گرفته است، مشخص شده که این دو شاخص در صورتی بهترین ارتباط را خواهند داشت که مقایسه میان شاخص استاندار بارش ۱۲ ماهه و شاخص (NDVI) صورت گیرد. در نهایت مشخص گردید که در طول دوره تصویر برداری شده (۲۰۰۲ تا ۲۰۰۸)، منطقه در دو سال ۲۰۰۳ و ۲۰۰۸ دار وضعیت خشکسالی وحالت نسبتاً نرمال در دیگر سالهای مورد مقایسه است.

واژه‌های کلیدی: سنجنده MODIS، شاخص تفاضل نرمال NDVI، شاخص استاندارد بارش SPI، استان خوزستان

است خشکسالی موقعی رخ می دهد که بارش منطقه به طور غیر معمولی کم شود و مثلاً به زیر ۵۰ میلیمتر در سال برسد (کاویانی، ۱۳۸۳، ۲۶۸) خشکسالی وضعیت دائمی یک اقلیم نیست و در تمامی اقلیمها چه اقلیم مرطوب و چه در اقلیم خشک اتفاق می افتاد خشکسالی ها از خشکسالی هواشناسی شروع شده و به ترتیب به

مقدمه

یکی از تفاوت‌های عمده خشکسالی با دیگر بلاحای طبیعی در این است که این مصیبت به نسبت سایرین که به صورت ناگهانی اتفاق می افتد، در زمان طولانی تر و به تدریج رخ می دهد به همین علت است که این بلاحای خشکسالی خزنده دانسته اند (Kogan, et al. 2000). خطرهای ناشی از خشکسالی خیلی بیشتر از خشکی

E-mail: hojjaty@yahoo.com

*نویسنده مسؤول:

خواهد آمد (یارمحمدی، ۱۳۸۴). چاپرا^۱ در ایالت گجرات^۲ هندوستان با استفاده از تصاویر سنجنده‌های NOAA^۳، AVHRR^۴ اقدام به محاسبه شاخص NDVI^۵ نموده و این شاخص را با شاخص SPI^۶ مقایسه نموده و در این مقایسه شاهد ارتباط نزدیک این دو شاخص در حالت SPI^۷ ماهه بوده است. (Chapra,P.,2006) کوچن^۸، ایالات متحده را با استفاده از تصاویر سنجنده‌ای (NOAA و MODIS^۹) و با استفاده از شاخص‌های TCI^{۱۰} و VCI^{۱۱} در سال ۱۹۸۸ مور مطالعه قرار داد، و در کار صورت گرفته متوجه شده که شاخص VCI^{۱۲} به نسبت شاخص TCI^{۱۳} وضعیت خشکسالی را بهتر نشان می‌دهد. (Kogan,et al.2000) پیتر^{۱۴} و همکاران با استفاده از داده‌ای ماهواره‌ای AVHRR اقدام به محاسبه دو شاخص NDVI^{۱۵} و SAVI^{۱۶} برای قسمتهای مرکزی ایالات متحده نموده است، و به این نتیجه رسیده است که می‌توان با بررسی دقیق و پیوسته پوشش گیاهی می‌توان خشکسالی را شناسایی کرد و در نتیجه متوجه شده که پوشش گیاهی در زمان بسیار کوتاه بعد از اتفاق افتادن کمبود بارش می‌تواند آثار خشکی را نشان دهد. (Peters,et al.2003) عبداللهی^{۱۷} یا استفاده از

خشکسالی هیدرولوژیکی، کشاورزی و سرانجام اجتماعی اقتصادی تبدیل می‌شود (علیزاده، ۱۳۸۸، ۲۷۷) برای برآورد خشکسالی یک منطقه روش‌های متفاوتی وجود دارد که این روش‌ها نیاز به داشتن داده‌های قابل اطمینان از گذشته دارند، ولی به دلیل عدم دقت در برداشت داده‌ها، امر محاسبه خشکسالی را با مشکلاتی همچون عدم دقت در زمان و شدت وقوع خشکسالی و درک درست خسارات ناشی از خشکسالی واجه ساخته است. امروزه با فراهم شدن امکانات ماهواره‌ای و تصویر برداری‌های متعدد و در بازه زمانی‌های متفاوت و میتوان خشکسالی را با صرف هزینه‌ای وزمان کمتر و با دقت بالاتری اندازه گیری نمود. محاسبه‌ی شاخص‌های پوشش گیاهی روشن مناسب برای اندازه گیری تراکم، کیفیت، میزان رشد، پراکنش و شناسایی امراض و بیماری‌های گیاهی و همچنین محاسبه خشکسالی است. جمع آوری این شاخص‌ها بوسیله روش‌های معمولی بسیار مشکل و پرهزینه است. با این حال استفاده از داده‌های ماهواره‌ای امکان مطالعه‌ی گسترده و دقیقتر پوشش گیاهی را فراهم کرده است. (علوی پناه، ۱۳۸۲: ۱۷۰). از طریق دریافت اطلاعات با قدرت تفکیک مکانی و زمانی درسطح وسیعی از زمین و به صورت دریافت نزدیک به زمان واقعی، امکان پایش روند خشکسالی‌ها با استفاده از تکنولوژی سنجش از دور بر اساس بازتابندگی طیفی در باندهای مختلف و امکان محاسبه در هر پیکسل فراهم

¹-Chapra

²-Gujarat

³-Advanced Vary Hign Resolution Radiometer

⁴-National Oceanic and Atmospheric adminstration

⁵-Kogan

⁶-Vegetation Condition Index

⁷-Temperature Condition Index

⁸-Peters

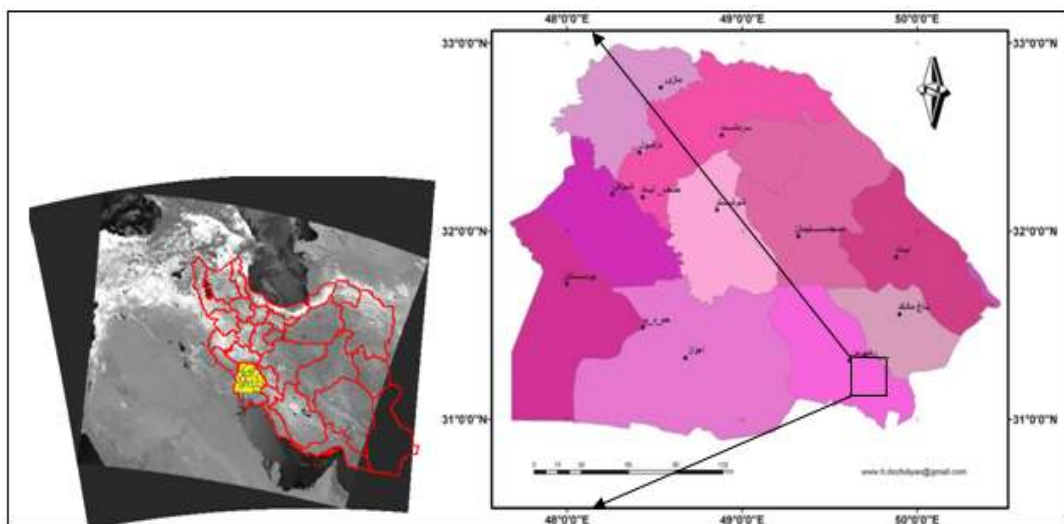
⁹-Soil Adhusted Vegetation Index

جنوبی منطقه معتدل شمالي واقع گردیده است. اين منطقه با مساحتی تقریبی ۲۴ کیلومتر مربع در نیمه جنوب غربی کشور و در حاشیه غربی سلسله جبال زاگرس قرار گفته است. از نظر عرض جغرافیایی در نیمه جنوبی منطقه معتدل شمالي از ۳۰ درجه شمالی از خط استوا قرار دارد. از نظر طول جغرافیایی در نیمکره شرقی کره زمین بین طول های جغرافیایی ۴۷ درجه و ۴۲ دقیقه تا ۵۰ درجه و ۳۹ دقیقه طول شرقی از نصف النهار گرینویچ واقع شده است. در مجموع ۲ درجه و ۵۷ دقیقه طول جغرافیایی و ۲ درجه عرض جغرافیایی را در بر می گيرد (شکل شماره ۱).

تصاویر سنجنده TM اقدام به مطالعه اراضی گیاهی در دو منطقه شهری وغير شهری پرداخته و آثار منفی کاهش این اراضی را بر افزایش نسبی دما راسنجیده است، او از شاخص NDVI استفاده کرده است. درنتیجه این کار در مناطق غير شهری در طول دوره هیچ تغییر خاص حرارتی پوشش گیاهی صورت نگرفته است ولی در مناطق شهری کمیت پوشش گیاهی در حدود ۳۶.۲ درصد کاهش پیدا نموده است و درجه حرارت این منطقه دچار تغییر منفی شده است. (عبداللهی، ۱۳۸۶)

موقعیت

منطقه مورد مطالعه در واقع نیمه شمالی استان خوزستان است که از نظر موقع ریاضی در نیمه



شکل ۱- موقعیت منطقه مورد مطالعه (مرکز شمال استان خوزستان)

عنوان (دادهای کمکی) (دادهای فضایی دریافتی متعلق به سنجنده MODIS و ماهواره TERA) است که از سازمان فضایی ایران (WWW.isa.ir) و در زمستان سال ۱۳۸۸ اخذ شده است. این دادها در بازه زمانی ۷

مواد و روش

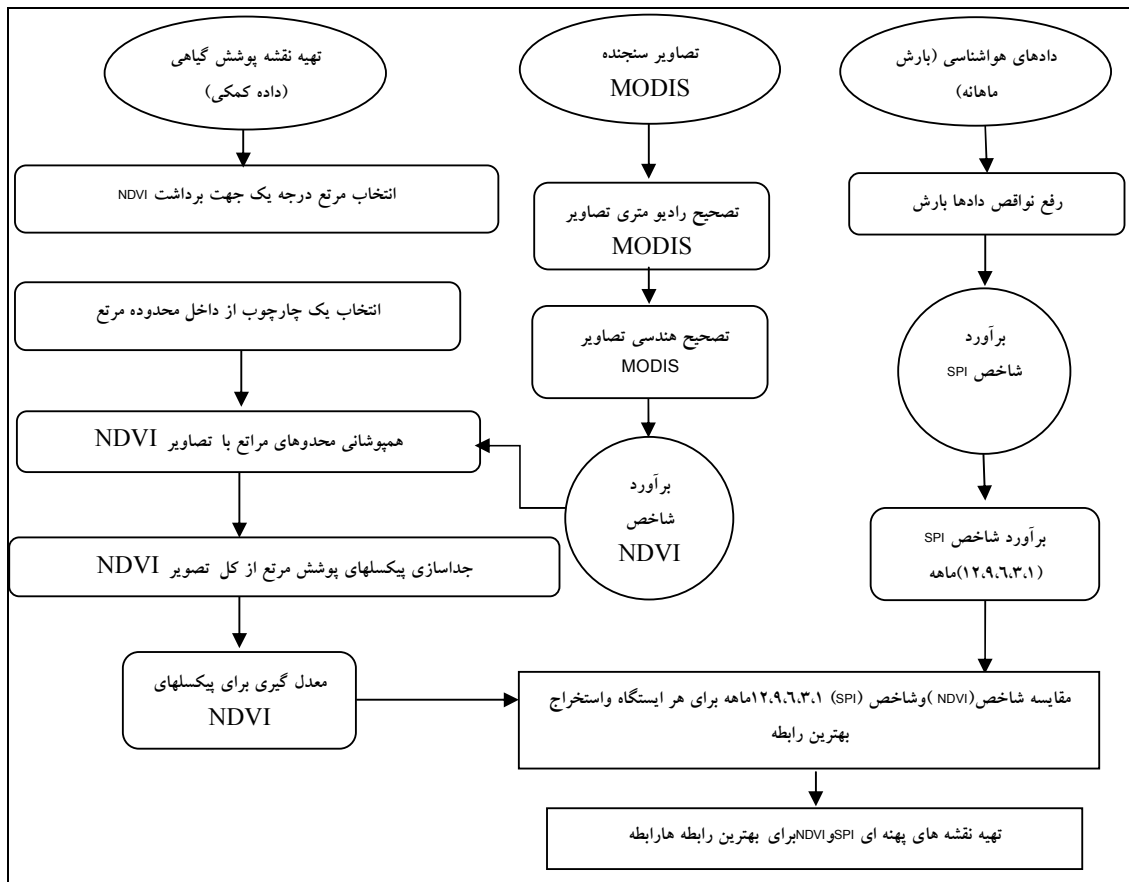
دادهای مورد نظر در این کار شامل سه دسته داده هستند: (الف) دادهای سنجنده MODIS، (ب) دادهای بارش منطقه، (ج) نقشه های پوشش گیاهی منطقه به

خروجی NDVI فقط عدد پیکسلهای مراتع درجه ۱ خروجی گرفته می‌شود و شرط را براین قرار داده ایم که عدد پیکسل مراتع را خروجی بگیریم که در نزدیکترین موقعیت به ایستگاه‌های هواشناسی واژ نظر وضعیت ارتفاع، بارندگی و دما در نزدیکترین حالت ممکنه باشد. حال به دلیل اینکه در نزدیکی بعضی از ایستگاه‌ها چندین پهنه مرتع وجود دارد، سعی می‌شود برای برطرف نمودن این مشکل از طریق مکان یابی برای هر ایستگاه اقدام به مشخص نموده بهترین و نزدیکتری پهنه مرتع درجه یک به ایستگاه موردنظر شود، سپس بعد از مشخص شدن پهنه موردنظر قسمت همپوشانی خروجی NDVI را به صورت کلیپ درآورده و بعد میانگین پیکسلهای این کلیپ را برای مقایسه‌های بعدی خروجی می‌گیریم. و در گام بعدی با استفاده از دادهای بارش ماهیانه ایستگاه‌های منطقه مورد مطالعه وبعد از برطرف نمودن نوافص این داده اقدام به محاسبه شاخص SPI برای دادهای ایستگاه‌ها به صورت ۱،۳،۶،۹،۱۲ نموده ایم و به دین ترتیب دوره‌های خشکسالی را برای منطقه مشخص نموده و در گام سوم اقدام به مقایسه شاخص SPI و NDVI در چندسالی که تصویر ماهواره‌ای داشته ایم نموده ایم (۲۰۰۸ تا ۲۰۰۲). (شکل شماره ۲)

ساله از سال ۲۰۰۲ تا ۲۰۰۸ بوده اند. در مجموع تعداد تصاویر اخذ شده در این پژوهش ۷ قطعه بودن است. دسته دوم دادهای استفاده شده دادهای بارش ۱۳ ایستگاه‌های منطقه مورد مطالعه که در از سایت هواشناسی کشور (WWW.weather.ir) و سایت هواشناسی استان چهارمحال (www.charmehalmet.ir) بصورت مجموع ماهیانه دریافت شده. دسته سوم دادها به صورت یک سری از نقشه‌ای پوشش گیاهی از سازمان منابع طبیعی و آبخیزداری استان خوزستان واژ سایت (www.khuzestan.frw.org) دریافت شده است. و هدف از اخذ این دادها داشتن درک درستی از میزان و موقعیت اراضی مرتعی منطقه مورد مطالعه تا با استفاده از این نقشه‌ها و همپوشانی آنها بر خروجی‌های شاخص NDVI بتوانیم صرفاً میزان شاخص مناطق مرتعی درجه یک را استخراج کنیم.

روش

در اولین گام بعد از تصحیح هندسی و رادیومتر تصاویر MODIS که جزء مراحل پیش پردازش تصاویر هستند، اقدام به برآورد شاخص NDVI برای تصاویر مورد نظر می‌کنیم و در ادامه برای اینکه فقط دادهای NDVI مناطق مرتعی را برداشت کنیم، از طریق نقشه مراتع منطقه مورد نظر و همپوشانی این نقشه با



شکل ۲- مدل و مراحل کار

هیستوگرام باندها به صورت مجزا محاسبه و ترسیم می‌گردد. معمولاً مناطقی که از آب صاف یا سایه و بازالت تیره تشکیل شده باشد، دارای انعکاس پایین است، پیکسل‌های این مناطق در طول موج مادون قرمز نزدیک، DN‌های نزدیک به صفر دارند. چنانچه هیستوگرام دیگر باندها نیز رسم شود مشاهده خواهد شد که DN‌های مناطق تیره در این باندها بیشتر از باند مادون قرمز است و هیچ گاه از صفر شروع نمی‌شود. در واقع حداقل DN در هیستوگرام باند‌های غیر از مادون قرمز مقداری در مناطق تیره افزون بر صفر است، که این میان مقدار اثر پراکنش جوی است، بنابراین برای حذف اثر جوی می‌توان این حداقل DN را از باندهای دیگر کسر کرد. (علوی پناه، ۱۳۸۲، ۱۳۵)

پیش پردازش

دادهای خام سنجش از دور، آنچنان که به وسیله سنجندهای موجود در ماهواره دریافت می‌شود، ممکن است که کمبودها و یا پارازیتهایی داشته باشد. نظر به اینکه جبران کمبودها و یا حذف پارازیتها قبل از هرگونه استفاده از دادها یا پردازش آنها صورت می‌گیرد، این قبیل اعمال پیش پردازش نامیده می‌شود. (دیسفانی، ۱۳۷۷، ۱۵۰) برای انجام تصحیح رادیومتری تصاویر مورد نظر روشهای متفاوت وجود دارد که ما در این کار از روش برابر سازی هیستوگرام^۱ استفاده نموده ایم. در این روش،

^۱-Histogram equalization

اولین بار Tucker در سال ۱۹۶۷، شاخص تفاضل نرمال NDVI را به عنوان شاخص سلامتی و تراکم پوشش گیاهی مطرح کرد (Thenkabail, et al. 2004). اختلاف مربوط به بازتاب نور خورشید در محدوده های طبیعی مرئی و مادون قرمز نزدیک با توجه به خصوصیات گیاهی، در تعریف شاخص NDVI به کار می رود در بین شاخصهای گیاهی، شاخص گیاهی تفاضل بهنجار NDVI در سطح وسیعی پذیرفته شده و مورد استفاده اغلب مجامع علمی قرار گرفته است (جوادنیا، ۱۳۸۶)، بعد از کار پیش پردازش تصاویر مورد نظر مرحله برآوردن شاخص NDVI آغاز می شود که در این مرحله با استفاده از فرمول زیر اقدام به برآوردن شاخص کرده ایم.

$$\text{NDVI} = \frac{(\text{NIR}-\text{RED})}{(\text{NIR}+\text{RED})} \quad (1974, \text{Rouse})$$

مقدار بازنگردی در باند مادون قرمز نزدیک = NIR
مقدار بازنگردی در باند قرمز مرئی = RED
باند قرمز و مادون قرمزنزدیک در تصاویر سنجندهای مختلف دارای شماره باند متفاوتی است بطوری که این دو باند در تصاویر TM به ترتیب دارای شماره باند ۳ و ۴ از این سنجنده هستند و این در حالی است که باند قرمز و مادون قرمزنزدیک در MODIS به ترتیب باند ۱ و ۲ از این سنجنده را تشکیل می دهد بنابراین ترتیب قرار گیری باندهای سنجنده در MODIS فرمول شاخص NDVI به صورت زیر خواهد بود.

برآوردن شاخص تفاضل نرمال برای سنجنده = MODIS $(\text{BAND}_2 - \text{BAND}_1) / (\text{BAND}_2 + \text{BAND}_1)$
عمل محاسبه شاخص NDVI در کار صورت گرفته بر روی تصاویر MODIS با فرمت BIL و در

تمامی عملیات مربوط به تصحیح مورد نظر در نرافزار. ERDAS IMAGINE 8.7 منظور از تصحیح هندسی یک تصویر، تغییر سیستم مختصات اجزای سازنده تصویر و انطباق آن با نقشه های نظیر و یا تصویری است که قبل از روی آن تصحیح هندسی صورت گرفته است (زیری، ۱۳۸۲، ۱۳۲۲) در نظری دیگر تغییر و تبدیل یک تصویر سنجش از دور به صورتی که دارای مقیاس و سیستم تصویر بشود تصحیحات هندسی گفته می شود (دیفانی، ۱۳۷۷، ۱۷۱) تصحیح هندسی و زئورفرنس کردن تصاویر توسط سازمان فضایی ایران بر روی ۷ تصویر MODIS دریافتی از این سازمان اعمال گردیده است، و همین سیستم تصویر و مختصات این تصاویر توسط فایل دریافتی از سازمان فضایی ایران و در نرم افزار GIS به تمامی تصاویر داده شده است (جدول شماره ۱).

جدول ۱- سیستم تصویر تصاویر MODIS (منبع سازمان فضایی ایران (WWW.isa.ir)

Projection	Lambert Conformal Conic
Ellipsoid	WGS 84
Latitude of first standard parallel	030d00'00"N
Latitude of second standard parallel	036d00'00"N
Latitude of projection origin	024d00'00"N
Longitude of projection origin	054d00'00"E
False easting (meters)	5000000
False northing (meters)	30000000

برآوردن شاخص NDVI برای تصاویر MODIS

تا در بهترین شرایط اقلیمی مشابه با ایستگاه باشد. از این جهت برای پیدا کردن چنین مکانی شش شرط را برای کار مکان یابی پیش فرض دانسته ایم. که هر کدام از این شروط تشکیل یک لایه را در کار مکان یابی می‌دهد.

-مرتع مورد نظر در کمترین فاصله به ایستگاه هر شهرستان باشد. -مرتع مورد نظر در کلاس بارش ایستگاه مورد نظر باشد -مرتع باید در کلاس دمای ایستگاه مورد نظر باشد. (ویا در کمترین فاصله به کلاس ایستگاه باشد) -مرتع باید در کلاس ارتفاعی ایستگاه مورد نظر باشد.. (ویا در کمترین فاصله به کلاس ایستگاه باشد) -مرتع باید از منابع رطوبتی (حداقل 1 km) مورد نظر بهتر است از نظر کیفی جزء مرتع درجه یک باشد. سپس بعد از تشکیل لایه هر شهرستان به هر لایه بر اساس اولویت و اهمیت در کار درصدی داده شده است. (جدول شماره ۲).

جدول ۲- وزن هر لایه در ادغام نهایی

فاصله از ایستگاه	بارش	دما	ارتفاع	فاصله از منابع رطوبتی	پوشش گیاهی	لایه‌ای مؤثر	وزن هر لایه
%۱۵	%۱۵	%۱۵	%۱۵	%۱۵	%۰۲۵		

جغرافیا یی شش لایه ترکیب گردیده‌اند
(آبشارینی، ۱۳۸۷)

$$MSS = (R * 15) + (ds * 15) + (veg * 25) + (T * 15) + (drh * 15) + (E * 15) / 100$$

MSS: نقشه مکان یابی مرتع هر شهرستان R: لایه بارش drh: لایه فاصله از منابع رطوبتی E: لایه ارتفاع

بررسی کنیم، و برای جلوگیری از زیاده نویسی سعی شده است که تمامی مناطق مکان یابی شده (مراع

قدرت تفکیک ۲۵۰*۲۵۰ متر و در نرم افزار ERDAS IMAGINE انجام گرفته است.

انتخاب محلی مناسب برای برداشت شاخص NDVI جهت مقایسه با هر ایستگاه مراع درجه یک به مراع اتلاق می‌گردد که پوشش گیاهی آنها صد درصد باشد یعنی تمامی سطح زمین را پوشیده باشند (کردوانی، ۱۳۸۱، ۶۸) هدف از بهره برداری از پیکسلهای شاخص NDVI مراع درجه یک است که این مراع نسبت به سایر مراع تمامی سطح زمین را می‌پوشاند، درنتیجه پیکسل کاملاً ارزش پوشش گیاهی را نشان می‌دهد واز ادغام با سایر ارزش‌ها همچون خاک که در مراع درجه پایین تر قابل مشاهده است جلوگیری به عمل می‌آید. بعد از مشخص کردن پهنه‌های مراع درجه یک هر شهرستان به وسیله نقشه پوشش گیاهی دریافتی از سازمان منابع طبیعی و آبخیزداری استان خوزستان، اقدام به کار مکان یابی برای انتخاب بهترین مرتع از میان تمامی مراع اطراف هر ایستگاه کرده ایم

جدول ۲- وزن هر لایه در ادغام نهایی

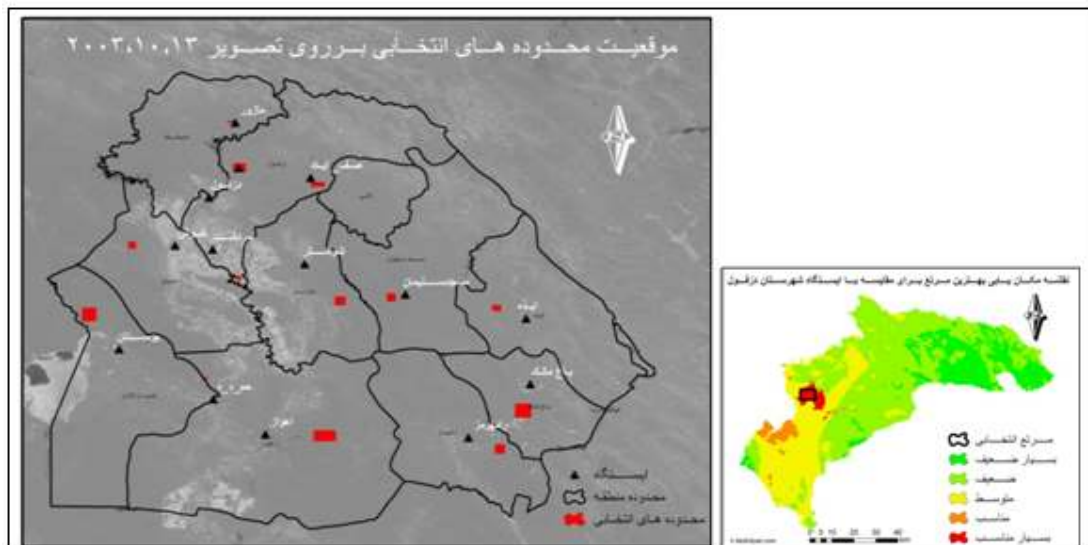
بعد از وزن دهی به هر کدام از لایه‌ها، سپس طبق فرمول زیر که در واقع نوعی فرمول همپوشانی وزنی (Overlay) است در محیط سیستم اطلاعات

MSS: نقشه مکان یابی مرتع هر شهرستان T: لایه دما ds: لایه فاصله از ایستگاه veg: لایه پوشش گیاهی

لازم به ذکر است که کار صورت گرفته برای هر شهرستان به صورت انفرادی صورت گرفته است تا موقعیت ایستگاه هر شهرستان را با مراع خود شهرستان

منطقه بصورت یکجا نشان داده شود. (شکل شماره ۳)

انتخابی) برای مقایسه با ایستگاهها بر روی نقشه کل



شکل ۳- موقعیت محدوده های انتخابی برای هر ایستگاه منطقه مورد مطالعه

میانگین رابه عنوان عدد شاخص NDVI محدوده انتخابی جهت مقایسه بعدی انتخاب می گردد. با مراجعه به (جدوال شماره ۳) می توان مقادیر میانگین های بدست آمده را به تفکیک سال و محدوده مشاهده نمود.

میانگین گیری و توصیف برداشت ها

بعد از مکان یابی بهترین مراعع، اقدام به کلیپ نمودن قسمتهای انتخابی از تصاویری که شاخص NDVI برآنها اعمال شده می کنیم، سپس از این قسمتهای کلیپ شده میانگین گیری کرده و این مقدار

جدول ۳- برآورد میانگین پیکسلهای شاخص NDVI برای محدودهای انتخابی، تصاویر ماه (ژئن)

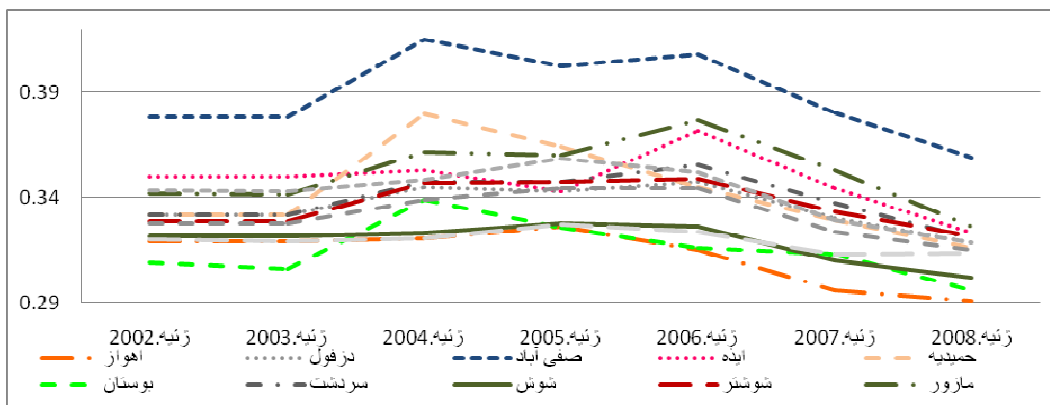
۰۰۰۲	۰۳	۰۴	۰۵	۰۶	۰۷	۲۰۰۸	ژئن	سال								ژئن
								۰۰۰۲	۰۳	۰۴	۰۵	۰۶	۰۷	۲۰۰۸	۰۰۰۲	
۰.۳۰۹	۰.۳۰۵	۰.۳۳۸	۰.۳۲۵	۰.۳۱۶	۰.۳۱۲	۰.۲۹۵	بوستان	۰.۳۱۹	۰.۳۲۰	۰.۳۲۶	۰.۳۱۵	۰.۲۹۵	۰.۲۹۰	۰.۲۹۰	امواز	
۰.۳۲۱	۰.۳۳۱	۰.۳۴۷	۰.۳۴۷	۰.۳۵۵	۰.۳۳۷	۰.۳۲۰	سردشت	۰.۳۳۱	۰.۳۳۱	۰.۳۴۵	۰.۳۴۲	۰.۳۴۷	۰.۳۳۰	۰.۳۱۸	دزفل	
۰.۳۲۱	۰.۳۲۱	۰.۳۲۲	۰.۳۲۷	۰.۳۲۶	۰.۳۰۹	۰.۳۰۱	شوش	۰.۳۳۱	۰.۳۳۱	۰.۳۴۵	۰.۳۴۲	۰.۳۴۷	۰.۳۳۰	۰.۳۱۸	صفی آباد	
۰.۳۲۸	۰.۳۲۸	۰.۳۴۶	۰.۳۴۷	۰.۳۴۹	۰.۳۳۳	۰.۲۲۱	شوستر	۰.۳۷۸	۰.۳۴۷	۰.۴۱۴	۰.۴۰۲	۰.۴۰۷	۰.۳۸۰	۰.۳۵۹	ایذه	
۰.۳۴۱	۰.۳۴۱	۰.۳۶۱	۰.۳۶	۰.۳۷۶	۰.۳۵۲	۰.۳۲۶	مازور	۰.۳۴۹	۰.۳۴۹	۰.۳۵۲	۰.۳۴۲	۰.۳۷۱	۰.۳۴۴	۰.۳۲۳	حیدریه	
۰.۳۲۸	۰.۳۲۷	۰.۳۳۸	۰.۳۴۴	۰.۳۴۴	۰.۳۲۳	۰.۳۱۵	باغمک	۰.۳۳۱	۰.۳۳۱	۰.۳۷۹	۰.۳۶۳	۰.۳۴۵	۰.۳۲۹	۰.۳۱۶	مسجدسلیمان	
۰.۳۴۳	۰.۳۴۲	۰.۳۴۸	۰.۳۵۸	۰.۳۵۲	۰.۳۲۹	۰.۳۱۸	رامهرمز	۰.۳۲	۰.۳۱۹	۰.۳۲۰	۰.۳۲۷	۰.۳۲۹	۰.۳۱۲	۰.۳۱۳		

شده نام آن ایستگاه را به خود اختصاص داده است. بنا به دادهای بدست آمده از محاسبه شاخص NDVI برای محدودهای ذکر شده، مشخص شد که در بازه زمانی تصویر برداری برای منطقه مورد مطالعه، حد

لازم به ذکر است که بعد از برآورد میزان شاخص NDVI برای محدوده های انتخاب شده به دلیل اینکه هریک از این محدودها به نسبت یک ایستگاه و برای مقایسه با اطلاعات (شاخص SPI) آن ایستگاه انتخاب

نیز میزان شاخص حالت سعودی دارد که بنظر میرسد بهترین حالت در میان سالهای تصویر برداری شده است. (شکل شماره ۴)

اکثر فراوانی کاهش شاخص NDVI برای ماه می در سال ۲۰۰۷ بوده است واز طرفی دیگر در سال ۲۰۰۳ نیز در این ماه (ژئن) شاهد کاهش نسبتاً چشم گیری بوده است واز طرفی در حدود سال ۲۰۰۴ تا ۲۰۰۶



شکل ۴-نمایشگر شاخص NDVI برای تصاویر ماه ژئن در بازه زمانی (۲۰۰۲ تا ۲۰۰۸)، نزول شاخص در ماه ژئن سالهای ۲۰۰۷ و ۲۰۰۶ وسعود نسبی آن در سالهای ۲۰۰۴ تا ۲۰۰۳ مشهود است.

استاندارد انحراف از میانگین نسبت به انحراف معیار داده های آماری است. درواقع در این روش علاوه بر انحراف از میانگین بارش های رخ داده در طی یک دوره آماری، انحراف معیار داده ها نیز مورد استفاده قرار می گیرد، بطوریکه نسبت اختلاف میانگین جامعه یا نمونه از مقدار بارندگی هر سال آماری به انحراف معیار جامعه یا نمونه محاسبه می شود.(زارع و محبوبی، ۱۳۸۳) بعد از برآورد شاخص SPI براساس جدول زیر خشکسالی ها رده بندی می شوند. (جدول شماره ۴)

جدول ۴- درجه بندی شاخص (SPI) (McKee)

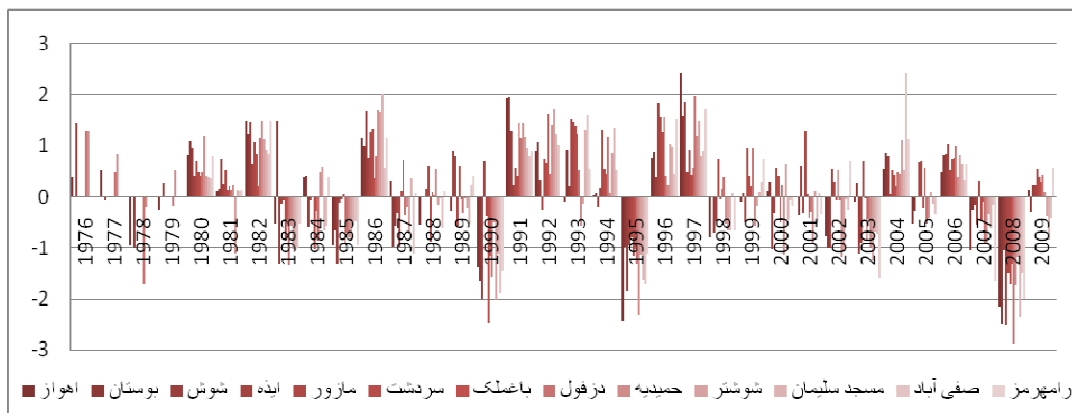
کلاسهاي	توصيف وضعیت
- بیشتر از -۱/۰	نرمال
-۱/۰ تا -۱/۵	خشکسالی متوسط
-۱/۵ تا -۲/۰	خشکسالی شدید
-۲/۰ کمتر از	خشکسالی بسیار شدید

شاخص استاندارد بارش (SPI)

شاخص مورد استفاده برای برآورد خشکسالی هواشناسی، شاخص استاندارد بارش SPI است که مک کی و همکارانش این شاخص را برای تعریف وپایش خشکسالی و تعیین کمبود بارش برای مقیاس های زمانی ۱،۲،۴،۱۲،۲۴،۳۶ ماهه ایجاد کرده اند.(McKee,et al.1993:83) از نظر متخصصان شاخص بارش استاندارد برای مقیاس زمانی ۴۸، ۲۴، ۱۲، ۳(قبل محاسبه است و به منظور هشدار اولیه وپایش شدت خشکسالی اهمیت دارد این شاخص برای کمی نمودن کمبود بارش در بازه زمانی، باز زمانی چند گانه طراحی شده است. (بذرافشان، ۱۳۸۱) بعد از تنظیم داده ها به صورت ماهانه بر اساس شاخص انتخابی، محاسبه مقدار بارش استاندارد برای کل دوره آماری به صورت ۱، ۳، ۶، ۹، ۱۲ ماهه انجام می شود. اساس انتخابی شاخص بارش

است، در ادامه به نمایندگی از کل نمایشگرهای SPI شاهد نمایش گزارش شاخص SPI در حالت ۱۲ماهه در قالب نمایشگرهایی خواهیم بود. که بخوبی بیانگر وضعیت منطقه را از نظر ترسالی ها و خشکسالی است. (شکل شماره ۵)

در کار صورت گرفته شاخص استاندارد بارش برای دادهای بارش ماهیانه ۱۳ ایستگاه منطقه مورد مطالعه و در پنج حالت زمانی (۱۳، ۶، ۹، ۱۲) برآورد گردیده است، هدف از این کار مقایسه این شاخص با شاخص NDVI است که در ادامه به این کار پرداخته می شود و همچنین برآورد دوره های خشکسالی منطقه



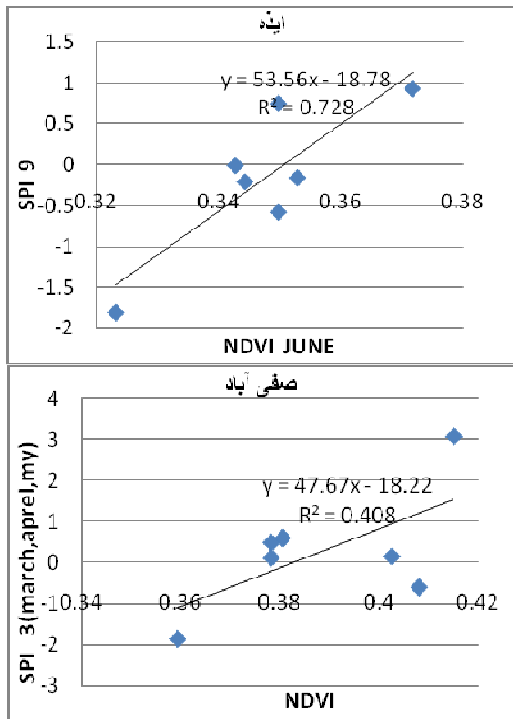
شکل ۵- نمودار خشکسالی ۱۲ ماه

برقراری شود که شاخص SPI به صورت ۱۲ ماهه و بعد از آن در حالت ۶ماهه قبل از تصویر برداری با شاخص NDVI مقایسه گردد. از میان شهرستانهای منطقه مورد مطالعه بهترین ارتباط میان این دو شاخص مورد نظر در حالت ۱۲SPI ماهه برای ایستگاه شوشتر با $R^2 = 0.852$ و دزفول با مقدار $R^2 = 0.794$ ثبت شده است. در حالت ۹SPI ماهه این دو ایستگاه باز هم جزء بهترین هستند با این تفاوت که ایستگاهی همچون ایذه نیز با $R^2 = 0.728$ به آنها می پیوندد. در حالت مقایسه SPI ۳ماهه با NDVI این ماه (ژئن) نیز این سه شهرستان از سایرین دارای R^2 بهتری هستند. و در نهایت در حالت SPI ۳ماهه بهترین R^2 با مقدار 0.408 متعلق به

از میان سالهایی که دارای وضعیت بحرانی بوده اند می توان به سالهایی همچون سال (۱۹۹۰، ۱۹۹۵، ۲۰۰۳) و (۲۰۰۸) اشاره نمود که میزان شاخص SPI در هر ۴ دوره زمانی برآورد شده برای ۱۳ ایستگاه مورد مطالعه دچاره یک نوع کاهش بخصوصی شده اند. که در ادامه به تولید نقشه های SPI ۱۲ماهه به صورت میانیابی شده به روش IDW می پردازیم.

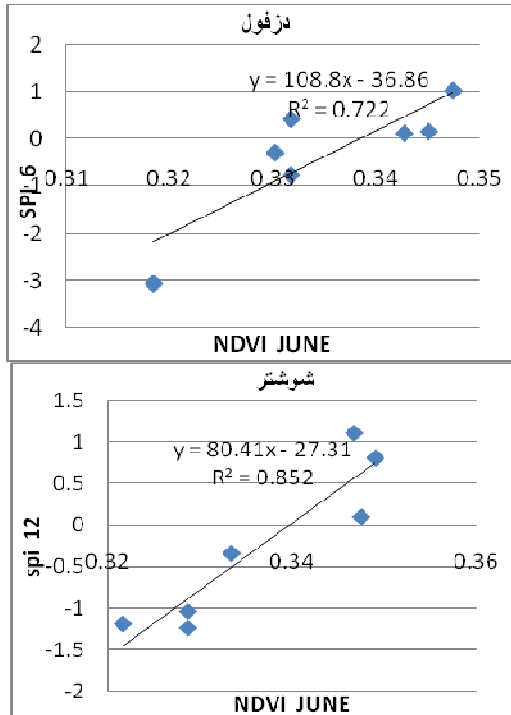
مقایسه NDVI تصاویر ماه ژئن با شاخص SPI

مقایسه ایستگاه به ایستگاه (منفرد) شاخص SPI با SPI ماه (ژئن) منطقه NDVI در مقایسه های صورت گرفته میان شاخص SPI و شاخص NDVI برای تصاویر این ماه (ژئن) مشخص شده که بهترین رابطه میان این دو شاخص در حالتی



شکل ۶- نمایش بهترین ارتباط میان NDVI ماه ژئن با SPI ۱۲، ۹، ۶، ۳ ماهه در ۴ ایستگاه نمونه

ایستگاه صفی آباد است. (شکل شماره ۶) (جدول شماره ۵)



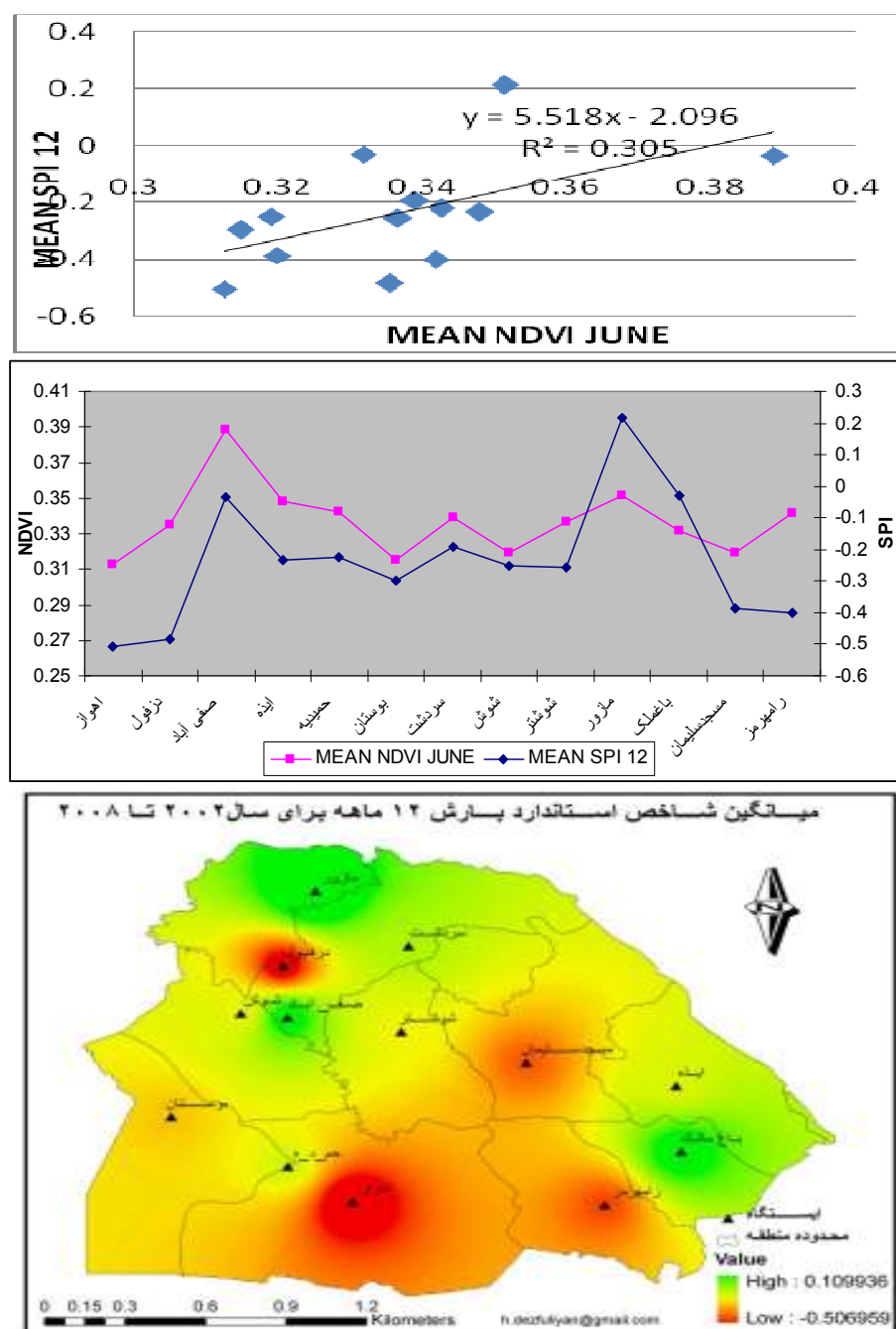
جدول ۵- ارتباط میان شاخص NDVI ماه (ژئن) با شاخص SPI به صورت ایستگاه به ایستگاه

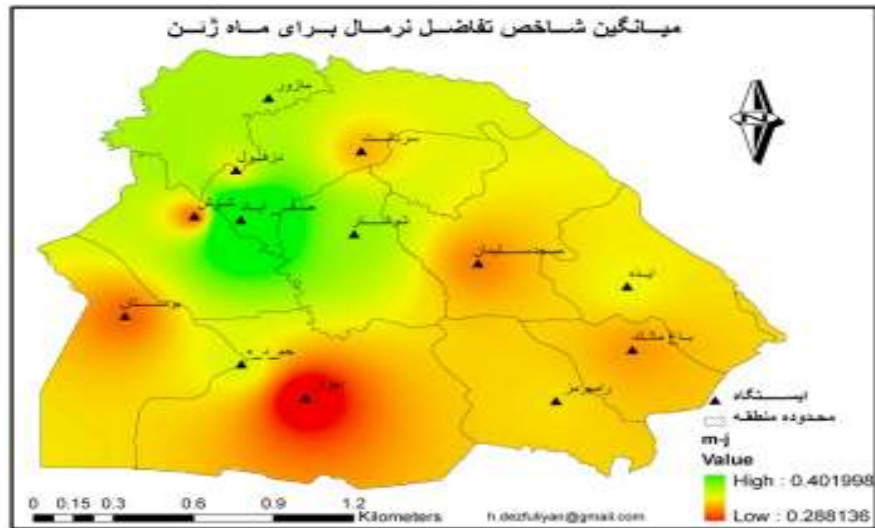
میانگین	رامهرمز	مسجد سلیمان	باغملک	مازو	شوشتر	شوش	سردشت	بوستان	حمدیده	آباده	صفقی آباد	دزفول	اهواز	R2
۰.۰۹۸	۰.۰۵۸	۰.۴۵۷	۰.۶۵۶	۰.۴۵۷	۰.۸۵۲	۰.۲۳۸	۰.۶۹۰	۰.۵۰۸	۰.۷۹۴	۰.۶۴۳	۰.۶۸۰	۰.۷۹۴	۰.۰۵۱	SPII2
۰.۰۲۵	۰.۰۳۰	۰.۴۲۵	۰.۴۵۴	۰.۳۴۲	۰.۷۰۷	۰.۱۲۱	۰.۵۷۷	۰.۶۵۲	۰.۴۳۸	۰.۷۲۸	۰.۵۵۶	۰.۷۲۲	۰.۰۲۲	SPI 9
۰.۰۷۷	۰.۰۹۰	۰.۴۲۵	۰.۰۵۰	۰.۵۶	۰.۷۰۵	۰.۲۷۷	۰.۶۴۳	۰.۶۵۱	۰.۴۸۴	۰.۷۴۲	۰.۵۶۶	۰.۷۲۲	۰.۰۲۷	SPI 6
۰.۲۴۱	۰.۳۱۹	۰.۲۱۷	۰.۱۳۸	۰.۰۰۳	۰.۱۹۶	۰.۲۴۶	۰.۲۰۷	۰.۲۶۸	۰.۲۳۷	۰.۳۲۸	۰.۴۰۸	۰.۲۷۳	۰.۰۲۵	SPI 3
۰.۲۸۲	۰.۱۸۲	۰.۲۳۱	۰.۴۷۶	۰.۳۹۴	۰.۱۹۱	۰.۲۰۴	۰.۴۱۴	۰.۰۵۹	۰.۰۱۳	۰.۵۳۴	۰.۵۲۵	۰.۴۵۳	۰.۰۰۰	SPI 1

ساله قابل مقایسه با شاخص NDVI بدهست آورده وسپس میان میانگین های شاخص SPI و میانگین شاخص NDVI رابطه برقرار می کنیم. بنا به مقایسه میانگین شاخص NDVI ماه ژئن با میانگین های شاخص SPI به صورت (۱۲، ۹، ۶، ۳) قبل از تصویربرداری مشخص شده که شاخص NDVI ماه ژئن در بهترین حالت با شاخص ۱۲SPI ۱۲ قرار دارد. (شکل شماره ۶)

مقایسه NDVI تصاویر ماه (ژئن) با شاخص SPI

در این کار معدل گیری از پارامترها، ابتدا از میزان شاخص NDVI هر محدوده در طول دوره تصویربرداری ۸ ساله به تفکیک ماه و ایستگاه میانگین گیری شده، به سخنی دیگر میانگین شاخص NDVI را برای هر ایستگاه در کل دوره برای ماه (ژئن) محاسبه می کنیم، وسپس در قدم بعدی، معدل شاخص SPI را برای هر ایستگاه به تفکیک (۱۲، ۹، ۶، ۳) ماهه برای ۸





شکل ۶- نمایشگر و نقشه های مقایسه میانگین NDVI ماه (زئن) محدوده های انتخابی با ۱۲ SPI ماهه ایستگاهها

و ۲۰۰۸ دارای شرایط کاهش شاخص NDVI همانند شاخص SPI بوده است که این خود روش‌نگار ارزش شاخص تفاضل نرمال در برآوردهای خشکسالی است. از طرفی در یک دید کلی به نقشه های ساخته شده شاخص SPI و NDVI به این نتیجه کلی میتوان رسید که مناطق جنوبی و غربی منطقه مطالعاتی بیش از مناطق شمالي و شرقی که مناطق کوهستانی نیز هستند تحت تأثیر شرایط خشکسالی در سالهای آماری بوده‌اند.

منابع

آ بشیرینی، احسان، کاظم، رنگ زن و سعدی خورشیدی (۱۳۸۷)، پتانسیل یابی منابع آب زیرزمینی با استفاده از روش همپوشانی شاخص وزنی در محیط (G.I.S) بذر افshan، جواد، ۱۳۸۱، مطالعه تطبیقی برخی شاخص‌های خشکسالی هواشناسی در چند نمونه اقلیمی ایران، پایان نامه کارشناسی ارشد هواشناسی کشاورزی. دانشگاه تهران - کرج

نتیجه گیری

در نتیجه کار صورت گرفته و مقایسه های انجام گرفته میان شاخص NDVI و صورتهای مختلف شاخص SPI (۱۲، ۹، ۶، ۳) ماهه، به این نتیجه می‌رسیم که شاخص NDVI بهترین همبستگی را با شاخص ۱۲ SPI ماهه در طول دوره آماری داشته است و بعد از آن این رابطه با شاخص ۹SPI ماهه و ۶ ماهه قوی بوده است. پس این مورد بیانگر این حقیقت است که در منطقه شمال استان خوزستان، NDVI مراع درجه ۱ بهترین همبستگی را با شاخصهای SPI طولانی تر از ۶ ماهه دارد و به بیان دیگر هرچه دوره SPI طولانی تر می‌شود R² بین این دو شاخص قویتر می‌شود. از طرفی دیگر در مقایسه های سالینه صورت گرفته میان شاخص تفاضل نرمال واستاندارد بارش و برطبق نمودارهای شاخص 12 SPI ماهه، شدیدترین سالها از نظر داشتن شرایط خشکسالی، (۲۰۰۳، ۱۹۹۵، ۱۹۹۰ و ۲۰۰۷) بوده اند در این راستا شاخص NDVI نیز به خوبی بیانگر این حقیقت است که دو سال از دوره تصویر برداری یعنی سالهای ۲۰۰۳

- کاویانی، محمد زضا، بهلول علیجانی، ۱۳۸۳، مبانی آب و هوای انسانی، انتشارات سمت، چاپ دهم، تهران
- میدر، پل ام، ۱۹۹۰، پردازش کامپیوتراست تصاویر سنجش از دور، ترجمه محمد نجفی دیسفانی، ۱۳۷۷، انتشارات سمت، چاپ اول، تهران
- یار محمدی، پ.، ۱۳۸۴، لزوم بکارگیری توأم سیستمهای اطلاعات جغرافیایی و سنجش از دور در پایش خشکسالی، فصلنامه علمی- ترویجی خشکی و خشکسالی، شماره ۱۸
- Chopra, P., (2006) Drought Risk Assessment using Remote sensing and GIS: A case study of Gujora, M. scthesis, Itc University
- Dracup, J.A. et al (1980) on the definition of drought , water Resource Res. 16(2), 297- 302PP
- Mckee, T.B, N.J.Daesken and J. Kleist (1993) the relationship of drought frequency and duration to time scales 8 conf, Applied Climatology. Anaheim ,CA, American Meteorological Society. 179-18uPP
- Peters, A.T, Leiggi, A.w and Vina. A, 2002, Drought Monitoring with NDVI – Based standardized vegetation index ,Photogrammetric Engineering & Remote Sensing vo1068, No.1.PP71-75
- Rouse, J.W, Haas, R.H., Schell, J. and Deering, D.W. 1973. Monitoring vegetation systems in the great plains with ERTS. Third ERTS symposium, NASA SP-351, 1:309- 317.
- Thenkabail, P.S.; Gamage, M.S.D.N.; Smakhtin, V.U. 2004. The use of remote sensing data for drought assessment and monitoring in Southwest Asia. Report 85. Colombo, Sri Lanka: International Water Management Institute.
- Kogan, F.N. 2000, Contribution of Remote Sensing to Drought Early Warning, National Oceanic and Atmospheric Administration(NOAA), National Environmental satellite Data and Information Services(NESDIS), Washington DC. U.S.A.PP86-100

- جوادنیا، اسلام، محمد رضا مبادری، ۱۳۸۶، ارتقاء شاخص NDVI برای پیش‌بینی خشکسالی با استفاده از تصاویر MODIS و ASTER. رساله کارشناسی ارشد دانشکده عمران دانشگاه صنعتی خواجه نصیرالدین طوسی.
- جوادنیا، اسلام، محمد رضا مبادری، ۱۳۸۶، بررسی روش‌های ارزیابی خشکسالی کشاورزی با استفاده از تکنیکهای سنجش از دوری، ششمین کنفرانس اقتصاد کشاورزی، آبان ۱۳۸۶
- زیری، محمد، علیرضا مجد، ۱۳۸۳، آشنایی با فن سنجش از دور و کاربرد در منابع طبیعی، انتشارات دانشگاه تهران، چاپ پنجم، تهران
- زارع ابیانه، حمید، علی اکبر محبوبی (۱۳۸۳) بررسی وضعیت خشکسالی و روند آن در استان همدان براساس شاخص‌های آماری خشکسالی، پژوهش و سازندگی در زراعت و باغداری، شماره ۶۴
- علیزاده، امین، ۱۳۸۵، هیدرولوژی کاربردی، انتشارات آستان قدس رضوی (شرکت به نشر)، مشهد
- عبداللهی، جلال و دستیاران، ۱۳۸۶، محدودیت‌های ایجاد نقشه پوشش گیاهی توسط تصاویر ماهواره ای لندست ETM+ در خشکسالیها، فصلنامه علمی پژوهشی تحقیقات مرتبت و بیان ایران، جلد ۱۴، شماره ۳، ص ۲۸۶-۳۰۱
- علوی پناه، سید کاظم، ۱۳۸۲، کاربرد سنجش از دور در علوم زمین، انتشارات دانشگاه تهران، چاپ اول، تهران
- کردوانی، پرویز، ۱۳۸۱، مراتع ایران، انتشارات دانشگاه تهران، چاپ سوم، تهران